

油气田上建場曲线的解釋

建場法的应用

在地质地球物理勘探中建場法得到了广泛的应用。它主要用于确定基底面的起伏和埋藏深度。

最近还企图利用建場法解决其它方面的問題。例如在伽茲里油气田上研究用电法（特别是建場法）探测油气层。

伽茲里构造的沉积盖层几乎全部是由侏罗系，白垩系，老第三系，新第三系和第四系砂泥岩組成。地质断面的平均电阻率 ρ_m 及地层厚度的变化規律可利用电法資料来确定。

古生代基底是高电阻率标准层。基底上部为侏罗紀和白垩紀岩层 ($\rho_m = 4.2 - 7.3$ 欧姆米，厚度1150—1500米）。伽茲里气田的气层与白垩紀地层共生。伽茲里老第三紀的泥岩为低电阻层 ($\rho_m = 1.9 - 4.5$ 欧姆米，厚度达200米）。断面上部个别地段发育有新第三紀和第四紀的地层 ($\rho_m = 26 - 36$ 欧姆米，厚度0—100米）。

地电断面为 A型 ($\rho_1 < \rho_2 \ll \rho_3$) 或 H A型 ($\rho_1 > \rho_2 < \rho_3 \ll \rho_4$)。在气田区内气层或全部白垩系岩层电阻率显著增高，比伽茲里构造外围部分要高1.7—2倍。

分析A型 $\rho_3 \rightarrow \infty$ 的三层建場理論曲綫說明，这种类型曲綫在右支上升之前沒有极小值。可以很好地利用曲綫的极大值带，因为靠近接收綫圈水平不均匀对其影响很小。接收綫圈平面的非水平状态或偶极装置大小有些誤差对这一段（曲綫极大值）几乎是沒有影响的。并且建場曲綫极大值縱座标是最明显的有用信号（建場曲綫微分最大值部分）。因而建場曲綫极大值縱座标 $\rho_{\tau_{max}}$ 可以作为說明断面特征的一种标准。

当第一层参数 (ρ_1, h_1 为常数) 和电极距 (r 为常数) 不变，在增大标准层以上电阻率 ρ_2 而它的厚度不变 ($h_2 = \text{常数}$)的情况下， $\rho_{\tau_{max}}$ 值则显著地增大（也就是 S 值減小）。

从表1可以看到，A型断面建場曲綫 $\rho_{\tau_{max}}$ 电阻率增加的情形，当 $\mu_1 = \rho_2 / \rho_1$ 增加4倍， $\rho_{\tau_{max}}$ 增大2倍，而 S / S_1 減小2倍。

表 1

$\mu_1 = \frac{\rho_2}{\rho_1}$	$\nu_1 = \frac{h_2}{h_1}$	$\frac{\rho_{\tau_{max}}}{\rho_1}$	$\frac{S}{S_1}$	注
2	4	2.4	3	ρ_1 等于常数
4	4	3.7	2	h_1 等于常数
8	4	4.8	1.5	$\frac{r}{h_1} = 22.6; \frac{r}{h_1 + h_2} = 4.5$

同样也可以看到建場曲綫当厚度 h_2 減小而 ρ_2 不变时的变化情况（表 2）。

表 2

$\mu_1 = \frac{\rho_2}{\rho_1}$	$\nu_1 = \frac{h_2}{h_1}$	$\frac{r}{h_1 + h_2}$	$\frac{\rho_{\tau_{max}}}{\rho_1}$	$\frac{S}{S_1}$	注
2	2	6	4.1	2	ρ_1 等于常数
2	4	5.4	3.1	3	h_1 等于常数
2	8	3	2.05	5	$\frac{r}{h_1} = 27$

不难看出，当第二层参数和电极距 r 不变，增大第一层电阻率 ρ_1 (h_1 等于常数)或減少 h_1 (ρ_1 等于常数)，則 $\rho_{\tau_{max}}$ 增加 (S 減少)。

这样一来，三层 A型建場曲綫极大值的增加在一定条件下取决于标准层以上的电阻率的增长，也就是油气层显示的一种重要标志。但是这是比較复杂的， $\rho_{\tau_{max}}$ 的变化分別取决于 ρ_2 和 h_2 的部分作用。这时电极距 r 应当不变或者将所有的 $\rho_{\tau_{max}}$ 换算为同一的极距*。

下面选建場法理論曲綫举例說明，它与伽茲里穹隆西边的断面（它的参数由电測井和鑽井确定）相当，这里气层很厚，假定建場的电极距为一常数。

图 1 的 a 曲綫 1 表示的断面是构造范围外面不含气层的 ($\rho_1=1$; $h_1=1$; $\rho_2=2$; $h_2=8$; $\rho_3 \rightarrow \infty$; $h_3 \rightarrow \infty$)；曲綫 2 相当于伽茲里构造的断面 ($\rho_1=1$; $h_1=1$; $\rho_2=2$; $h_2=8$; $\rho_3 \rightarrow \infty$; $h_3 \rightarrow \infty$)，假設不含有气层；而曲綫 3 反映的断面为含气层的西部构造穹隆 ($\rho_1=1$; $h_1=1$; $\rho_2=2.6$; $h_2=8$; $\rho_3 \rightarrow \infty$; $h_3 \rightarrow \infty$)。如能得到建場曲綫，确定断面的参数，就能够求出真实介质內的标准层以上非均质电阻率的异常。

可以看出，在較复杂的情况下，当断面內不仅 ρ_2 和 h_1 变化而且 ρ_1 也变时，可以近似地估計由所指出的参数之一的变化所引起的 $\rho_{\tau_{max}}$ 异常(或者 S)。对比建場法理論曲綫，它相当于东伽茲里穹隆(这里含有气层)到北部古生代基底下沉地区(見表 3)，逐渐变化的地电断面，可得出由于 h_1 ， ρ_1 和 ρ_2 的变化， $\rho_{\tau_{max}}/\rho_1$ 变化1.7倍(且 $\rho_{\tau_{max}}/\rho_1$ 异常的15%是由 ρ_2 增加1.35倍而引起的)。

根据分析理論曲綫，說明与标准电性层(基底)深度減小有关的 $\rho_{\tau_{max}}^*$ (或 S^*)异常，是有重大意义的。这部分异常称为“构造效应”。

* 指的是 $\rho_{\tau_{max}}$ 与 r 成正比例关系，即 $\rho'_{\tau_{max}}/r' = \rho''_{\tau_{max}}/r''$ ，这在水平均匀介质內是正确的，在实际介质中仅近似地認為 $\rho_{\tau_{max}}$ 的变化与 r 有这种关系。

表 3

断面参数								
断面号	h_1	h_2	ρ_1	ρ_2	ρ_3	$S = S_1 + S_2$	$\frac{r}{h_1 + h_2}$	$\frac{\rho_{\tau \max}}{\rho_1}$
1	1	4	1	2	∞	3	6.3	3.5
2	1	4	1	2.7	∞	2.5	6.3	4.0
3	0.41	4	1	2.7	∞	1.9	7.1	4.0
4	0.41	4	1.43	2.7	∞	1.8	7.1	5.9

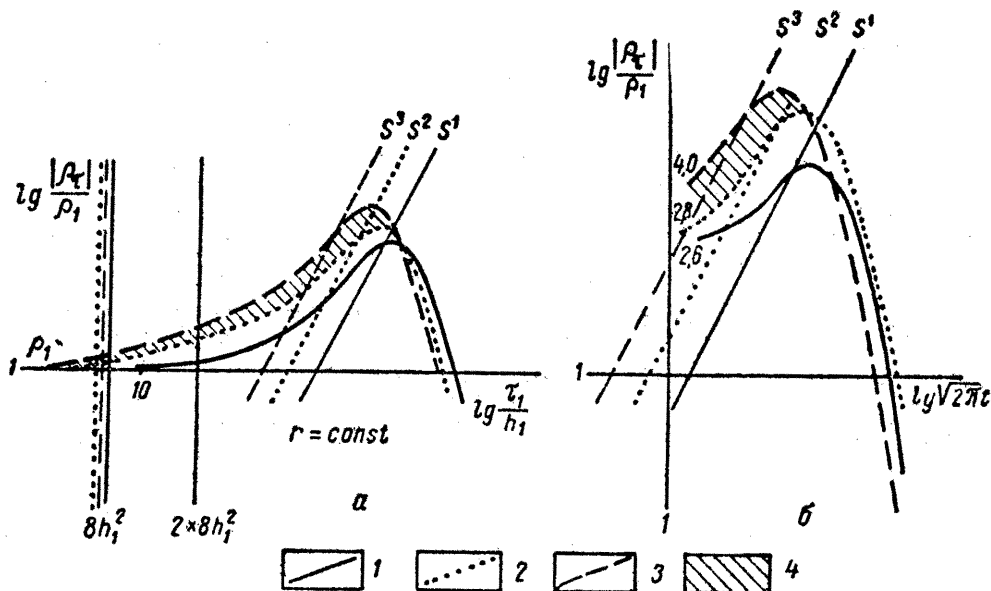


图 1 建場法理論曲綫(a): 1—当 $r/(h_1 + h_2) = 4.52$ 时 B_Z —
2—4— ∞ 量板曲綫; 2—当 $r/(h_1 + h_2) = 5.0$ 时 B_Z —2—8— ∞ 量板
曲綫; 3—当 $r/(h_1 + h_2) = 5.0$ 时 B_Z —2.6—8— ∞ 量板曲綫; 4—断面
内 ρ_2 增大而产生的 ρ_{τ}/ρ_1 异常 (非均匀电阻率的存在)

建場法觀測曲綫(b): 1—伽茲里气田外圍部分的曲綫; 2—在构
造上沒有气层部分的曲綫; 3—伽茲里气田范围內的曲綫; 4—含气层
电阻率增大产生的 ρ_{τ} 异常

为了进行計算,根据理論曲綫編繪(給定 $\mu_1 = \rho_3/\rho_1$ 值) $\rho_{\tau \max}/\rho_1 = f(\nu_1)$ 关系曲綫(見图 2)。知道 ρ_1 , h_1 (按垂向測深資料) 和 $H = h_1 + h_2$ (按地震資料或者在有利条件下的电法勘探資料) 就可以确定 $\rho_{\tau \max}$ 异常值“构造效应”。測得的建場曲綫异常与上述所得异常之差与 ρ_2 变化有关(将得到 $\Delta \rho_{\tau \max}$ 值*)。

* $\Delta \rho_{\tau \max}$ (ΔS) 值即不同 $\mu_1 = \rho_2/\rho_1$ 的建場曲綫 $\rho_{\tau \max}(S)$ 的差值。

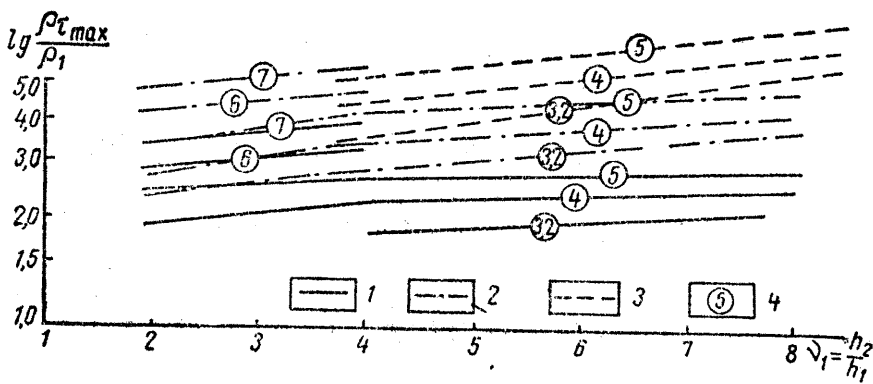


图 2 $\rho_t / \rho_1 = f(h_2 / h_1)$ 关系曲綫

$$1 - \rho_2 / \rho_1 = 2; \quad 2 - \rho_2 / \rho_1 = 4; \quad 3 - \rho_2 / \rho_1 = 8; \quad 4 - r / H = 5$$

分析 $\rho_{t\max} / \rho_1 = f(\nu_1)$ 列綫圖指出，在很大範圍內 ($\mu_1 = 2 \sim 8$; $\nu_1 = 2 \sim 8$)，當 μ_1 值增大 30% 時可以期望得到可靠的 $\Delta \rho_{t\max}$ 或 ΔS 异常（大于 15—20% 的异常）。例如，斷面的 $\nu_1 = 8$ ，當 $r / (h_1 + h_2) = 5$ 時， $\mu_1 = \rho_2 / \rho_1$ 增加 1.3 倍，建場曲綫 $\rho_{t\max}$ 增加 20%，而 μ_1 再增加 1 倍，則 $\rho_{t\max}$ 相應地增加 50%。

从研究 $\Delta \rho_{t\max} / \rho_1 = f[r / (h_1 + h_2)]$ （見圖 3）的關係曲綫能够得出以下結論：

- 1、选择大的电极距便能够得到大的 $\Delta \rho_{t\max}$ 值；
- 2、在 h_2 / h_1 为常数时，非均匀介质的高电阻率随着电性标准层变浅，则很明显地表現出来（ $\Delta \rho_{t\max}$ 增大）。

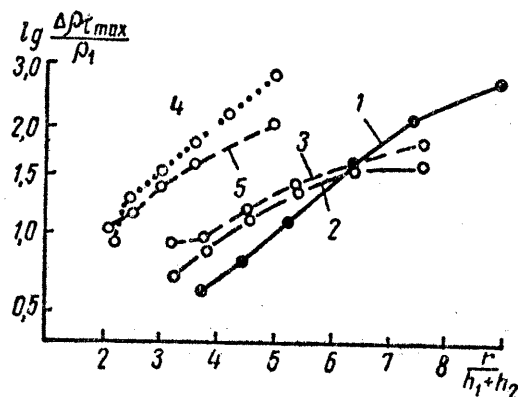


图 3 $\Delta \rho_{t\max} / \rho_1 = f[r / (h_1 + h_2)]$ 关系曲綫
 1 — $\nu_1 = 2$,
 $\mu'_1 = 4$, $\mu''_1 = 2$; 2 — $\nu_1 = 4$, $\mu'_1 = 8$, $\mu''_1 = 4$; 3 — $\nu_1 = 4$, $\mu'_1 = 4$,
 $\mu''_1 = 2$; 4 — $\nu_1 = 8$, $\mu'_1 = 8$, $\mu''_1 = 4$; 5 — $\nu_1 = 8$, $\mu'_1 = 4$, $\mu''_1 = 2$

建場法野外工作結果

建場法試驗工作集中在伽茲里构造及其外围地区。在这个地区做了大量的鑽井和电法勘探工作，以及地震勘探工作，这些結果有助于可靠地解釋建場觀測曲綫。所有測深用固

定的电极距 $r = 8$ 公里 ($r/H = 3 \sim 5$) 的双边赤道式偶极装置。

分析野外資料說明，本区的电阻率值特別是建場曲線的极大值在矿层分佈地区(构造頂部)比边缘地带要高。这就有可能按照建場法理論曲線来确定它們的差异。

图 1 的 6 即在伽茲里构造地区測得的。一为在其北部凹陷內(曲線 1)；一为在沒有气层的构造上(曲線 2)；一为在含气的伽茲里构造上(曲線 3)。这里可以看出随着測深装置从凹陷向《沒有气层》的构造移动和从《沒有气层》的构造向含气构造移动，曲線极大值向左和向上偏移(見图 1、6)。同时可以看到越靠近矿层处的总縱电导 S 值越減小。

因此，根据这个規律完全可以求出异常效应 ($\rho_{\tau \max}$ 或 S 的异常)，即由气层引起的电阻率增高的异常。

确定 $\Delta \rho_{\tau \max}$ 的方法上边已經叙述过了， $S(\Delta S \rho_2)$ ，与标准层以上的电阻率增大有关系，利用建場法試驗結果可以求出，关于高电阻率标准层(基底)的起伏可依靠地震或电法的資料。含气构造范围外的断面参数則根据垂向測深、偶极測深或者电測井資料求得。为此气层构造外围第二电性层的平均电阻率 ρ'_{l2} 在任一个点上可按以下公式确定

$$\rho'_{l2} = (H - h_1) / (S - S_1)$$

式中： H —基底埋藏深度(按反射法，对比折射法或电法資料求得)； h_1 —第一电性层深度(按垂向測深或偶极測深求得)； S —沉积岩系的总縱电导(按建場法曲線的解釋資料)； S_1 —第一电性层的縱电导(按电測井資料)。

而后計算天然气层构造断面的总縱电导并假設电阻率 ρ''_{l1} 比較外围部分來說沒有变化。

$$S^* = h''_1 / \rho''_{l1} + h''_2 / \rho''_{l2}$$

$$\text{并且 } h'_1 = h''_1; \quad \rho'_{l1} = \rho''_{l1}; \quad \rho'_{l2} = \rho''_{l2}$$

在解釋含气构造頂部的建場法觀測曲線时得到的 S 值与 S^* 之差即为所求的 $\Delta S \rho_2$ ，亦即气层地带比外围 ρ_2 值相对增加所引起的异常。例如图 4 所示的即为所求异常效应 $\Delta S \rho_2$ ，

在建場法勘探地区內的总縱电导 S 值的变化：在构造凹陷区为 550—600 姆欧，在伽茲里构造頂部为 350—400 姆欧。求 S 值的誤差不超过 3—5%。在伽茲里构造頂部气层电阻率增高的 $\Delta S \rho_2$ 异常达到全部沉积岩总縱电导的 25—30%。

因此，可以应用建場法在沉积岩中确定非均质高电阻率的油气层。

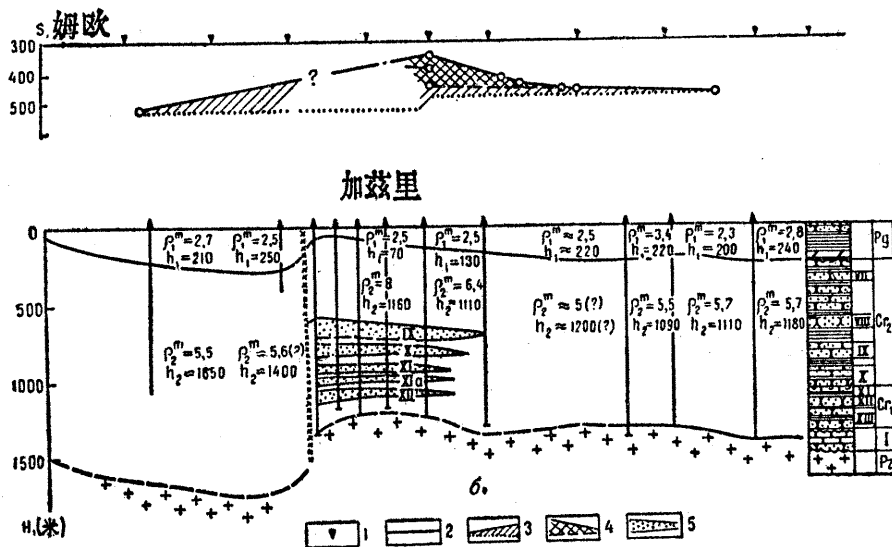


图4 在伽兹里构造区建場資料的解釋結果

a—建場法 $r = 8$ 公里資料的總縱電導減小的異常效應；6—地電斷面
 1—建場法測點；2—按觀測曲綫求的 S 曲綫；3—由於構造存在所
 得到的 S 异常；4—由於礦層存在得到的 S 异常；5—天然氣層

譯自蘇修《應用地球物理學》49期，85—92頁，1967年

重 要 更 正

1967年6期第2頁1行“到一九六二年的左傾……”中的“左”字應
 為“右”字，特此更正。這一嚴重錯誤的出現，是由於我們政治責任心不強
 所造成的，謹向讀者道歉。

本刊編輯部